

## محاسبه چگالی الکترونی با استفاده از نظریه تابعی چگالی کوانتومی

\*الهام غریب شاهی

گروه فیزیک ، واحد مرودشت، دانشگاه آزاد اسلامی، مرودشت، ایران

لیلا غریب شاهی

گروه فیزیک، دانشگاه یزد، یزد، ایران

### چکیده

در این تحقیق هدف بررسی ساختار و توزیع سیستم‌های بس ذره‌ای منجمله گاز الکترونی با در نظر گرفتن بر هم کنش‌های مربوطه می‌باشد و در این تحقیق از نظریه تابعی چگالی کوانتومی<sup>(۱)</sup> استفاده می‌کنیم. نظریه تابعی چگالی امروزه در دو نوع کوانتومی و کلاسیکی بسیار وسیع بکارمی رود که در اینجا بیشتر بحث‌ها به نوع کوانتومی آن اختصاص می‌یابد.

در این تحقیق نظریه تابعی چگالی را برای سیستم‌های بس ذره‌ای بکار می‌بریم در واقع این نظریه ریشه در نظریه توماس - فرمی دارد. ما در مورد نظریه تابعی چگالی نظریه توماس-فرمی و مدل‌های وابسته به آن یعنی مدل توماس-فرمی مقدماتی ( $TF$ )، مدل توماس-فرمی-دیراک ( $TFD$ ) و مدل توماس-فرمی-دیراک-وایزاکر ( $TFDW$ ) و مدلی که به  $\lambda W - TFD$  معروف است را بررسی می‌کنیم. تابع موج یا چگالی عناصر نادر  $Ne$  و  $Ar$  و  $Kr$  و  $Xe$  از روی معادله کلی بدست می‌آید و سپس چگالی را بر حسب فاصله برای تمام این عناصر رسم می‌کنیم. همانگونه که مشاهده می‌شود تمام این چگالی‌ها در یک فاصله معین از مرکز یونی یک بیشینه دارند که احتمال وجود الکترون در آن فاصله بیشتر از دیگر فاصله‌ها می‌باشد.

**واژه‌های کلیدی:** نظریه تابعی چگالی کوانتومی، مدل توماس-فرمی، سیستم‌های بس ذره‌ای، محاسبه چگالی الکترونی

\*عهده دار مکاتبات

**مقدمه**

امروزه نظریه تابعی چگالی نقش عمده‌ای در بررسی سیستم‌های بس ذره‌ای خصوصاً گاز الکترونی و مایع فرمی ایفا می‌کند. ما نیز می‌خواهیم با وارد کردن نظریه تابعی چگالی در نظریه‌های قبلی سیستم‌های بس ذره‌ای بررسی مسئله را کامل کرده و روش‌های فراگیرتری را معرفی نماییم. در این روش متغیر اصلی چگالی گاز الکترونی ناهمگن است. بدین ترتیب که ما همه جملات انرژی آزاد شامل انرژی جنبشی، انرژی پتانسیل و انرژی برهم کنش با پتانسیل خارجی و برهم کنش بین ذرات را نوشه و با کمینه کردن انرژی به معادله اولر-لاغرانژ می‌رسیم که با حل آن چگالی بدست می‌آید این مبحث ادامه کار کوهن-شم و همچنین هوهنبرگ و کوهن می‌باشد و شروع کاربرد نظریه تابعی چگالی در سیستم‌های بس ذره‌ای الکترونی است ضمناً مرمن<sup>(۲)</sup> (Mermin) نیز با انجام عملیات ریاضی نظریه تابعی چگالی موفق شد که چگالی الکترون را در عملیات وارد کند. گسترش و کاربرد نظریه تابعی چگالی در بررسی سیستم‌های گاز الکترونی است.

در ادامه بطور مختصر تعدادی از کارهای انجام شده با استفاده از نظریه تابعی چگالی شرح داده می‌شود:

(۱) انرژی همبستگی<sup>(۳)</sup> یک گاز الکترونی در چگالی بالا توسط ژل-من<sup>(۴)</sup>

(۲) خواص گرمایی گاز الکترون توسط مرمن<sup>(۵)</sup>

(۳) معادلات خودسازگار<sup>(۶)</sup> شامل اثرات تبادلی<sup>(۷-۸)</sup> و همبستگی<sup>(۹-۱۰)</sup> توسط کوهن-شم<sup>(۱۱)</sup>

(۴) محاسبه نوسانات کوانتمی چگالی در گاز الکترون غیرهمگن توسط کوهن و شم<sup>(۱۲-۱۳)</sup> تقریب غیر موضعی پتانسیل تبادل و انرژی جنبشی یک گاز الکترون ناهمگن توسط آلونسو-گریفالکو<sup>(۱۴)</sup> انجام گردید در همین زمینه چگالی تابعی موضعی برای انرژی جنبشی توسط Huntington<sup>(۱۵)</sup> معرفی شد. همچنین<sup>(۷)</sup> محاسبه ساختار باند به کمک نظریه تابعی چگالی توسط شم-سولیت<sup>(۱۶-۱۷)</sup> محاسبه برهم کنش‌های واندروالس در نظریه تابعی چگالی توسط آندرسون<sup>(۱۸-۱۹)</sup> و همکاران محاسبه گردید.

در این مقاله به کمک نظریه تابعی چگالی کوانتمی یک سیستم بس ذره‌ای ساده مثل اتمهای نئون و آرگون مورد بررسی قرار خواهد گرفت.

**نظریه تابعی چگالی کوانتمی**

نظریه تابعی چگالی در واقع یک ابزار مفید برای محاسبه انرژی‌های حالت زمینه<sup>(۱۲)</sup> و توزیع‌های چگالی<sup>(۱۹-۲۰)</sup> اتم‌ها و مولکولها و جامدات به ویژه برای سیستم‌های شامل تعداد زیادی از اتم‌ها یا مولکولهای است. با استفاده از این نظریه می‌توان چگالی‌های دقیق حالت پایه و انرژی‌های سیستم‌های الکترونی را که تحت تاثیر یک پتانسیل خارجی قرار دارند محاسبه نمود.

همچنین با استفاده از این نظریه می‌توان سیستم‌های غیرهمگن با برهم کنش‌های مختلف را بررسی نمود. ساده‌ترین تقریب بکاررفته تقریب چگالی موضعی Local Density Approximation (LDA) می‌باشد.<sup>(۱۶)</sup> با استفاده از نظریه تابعی چگالی می‌توان معادله شرودینگر تک اتمی با پتانسیل تبادلی-همبستگی LDA را بدست

آورد و از روی آن چگالی را محاسبه کرد.<sup>(۱۶)</sup> این تئوری بیان می کند که انرژی حالت زمینه یک سیستم چند الکترونی یک تابعی یکتا از چگالی الکترونی است:  $F[n(\vec{r})]$  که این تابعی یکتا به تمام سیستم های الکترونی در حالت پایه اعمال می شود و مهم نیست که پتانسیل خارجی چه تابعی از فاصله باشد<sup>(۱۹)</sup>، برای سادگی محاسبات ترجیحاً "سعی بر این است که اتم در حالت برانگیخته نباشد اما می توان با توجه به کلی بودن نظریه برای حالت برانگیخته نیز محاسبات را دنبال کرد. بنابراین با داشتن این تابعی تمام خواص حالت پایه سیستم را می توانیم بدست آوریم. انرژی حالت پایه برای سیستمی که در معرض پتانسیل  $v(\vec{r})$  قرار دارد به این شکل نوشته می شود:

<sup>(۱۹)</sup>

$$E_n(n) = \int v(\vec{r}) n(\vec{r}) dr + F[n(\vec{r})] \quad (1)$$

که  $n(\vec{r})$  چگالی سیستم است و  $F[n(\vec{r})]$  تابعی چگالی می باشد که مستقل از  $v(\vec{r})$  است با جدا کردن قسمت کولنی داریم:

$$F[n] = \frac{1}{2} \iint \frac{n(\vec{r}) n(\vec{r}')}{|\vec{r} - \vec{r}'|} dr dr' + G[n] \quad (2)$$

که  $G[n]$  یک تابعی یکتا مثل  $F[n]$  می باشد و به صورت زیر آن را بسط می دهیم:

$$G[n] = G[n_0] + \int n(\vec{r}) n(\vec{r}') K(\vec{r} - \vec{r}') dr dr' + \int L(\vec{r}, \vec{r}', \vec{r}'') n(\vec{r}) n(\vec{r}') n(\vec{r}'') dr dr' dr'' + \dots \quad (3)$$

جمله اول سمت راست مربوط به حالت پایه است جمله دوم مربوط به برهم کنش های دوتایی است و جملات سوم به بالاتر مربوط به برهم کنش های بالاتراست که در نهایت به صورت زیر نوشته می شود<sup>(۲۰)</sup>:

$$E = T[n(\vec{r})] + \int V_{ext}(\vec{r}) n(\vec{r}) dr + \frac{1}{2} \int U(\vec{r} - \vec{r}') n(\vec{r}) n(\vec{r}') dr dr' + E[n(\vec{r})] - U_{el}(0)N + E_{pol}[n(\vec{r})] \quad (4)$$

که در این رابطه  $N$  تعداد الکترونها،  $E_{pol}$  انرژی های پلاریزاسیون،  $U_{el}$  قسمت بلند برد پتانسیل کولنی و  $T$  انرژی جنبشی است.

در حالت کلی می دانیم که انرژی کل یک سیستم شامل انرژی جنبشی و پتانسیل و در صورت وجود پتانسیل خارجی، انرژی برهم کنش با این پتانسیل نیز باید وارد محاسبات گردد. در ادامه نظریه توماس-فرمی، توماس-فرمی-دیراک و همچنین توماس-فرمی-دیراک-وایزاکر مورد بررسی قرار خواهد گرفت و با کمینه کردن انرژی کل، معادله بر حسب چگالی را بدست آورده و در نهایت روش عددی حل این معادله را مطرح می کنیم.

در توماس-فرمی و مدل‌های وابسته به آن رابطه انرژی حالت پایه  $E$  برای یک سیستم  $N$  الکترونی با چگالی  $n(\vec{r})$  به صورت زیر می توان نوشت:

$$E[n] = T[n] + \int n(\vec{r}) v(\vec{r}) dr + V_{ee}[n] \quad (5)$$

که در رابطه بالا  $T[n]$  انرژی جنبشی تابعی و انتگرال  $\int n(\vec{r})v(\vec{r})dr$  از انرژی برهم کش با پتانسیل خارجی اعمال شده و  $V_{ee}[n]$  انرژی برهم کنش الکترون-الکترون می باشد . انرژی برهم کنش الکترون-الکترون به صورت زیر می باشد :

(۶)

$$V_{ee}[n] = J[n] - K[n]$$

که در رابطه بالا  $J[n]$  قسمت کلاسیکی برهم کنش الکترون-الکترون ( انرژی پتانسیلی کولنی ) و  $K[n]$  قسمت غیر کلاسیکی برهم کنش الکترون-الکترون می باشد . و به صورت زیر تعریف می شود :

$$J[n] = \frac{1}{2} \iint \frac{n(\vec{r}_1)n(\vec{r}_2)}{|\vec{r}_2 - \vec{r}_1|} dr_1 dr_2 \quad (7)$$

مشکل اساسی رابطه ۵ در این است که نمی توان مقادیر دقیقی برای  $T[n]$  و  $V_{ee}[n]$  در نظر گرفت در نتیجه ناگزیریم که تقریبهای مختلفی برای حل این مشکل مورد استفاده قرار دهیم .

مدل توomas-فرمی (TF)

اولین تقریب بکاررفته برای حل رابطه (5) توسط توamas و فرمی ارائه شد . به این ترتیب که  $T[n]$  انرژی جنبشی توamas-فرمی که مربوط به گاز الکترونی یکنواخت غیربرهم کنشی است و برهم کنش الکترون-الکترون را هم فقط از نوع کلاسیکی در نظر گرفتند یعنی  $K[n]$  را مساوی صفر قرار دادند . در نتیجه رابطه (6) به صورت زیر بدست می آید

$$V_{ee}[n] = J[n] \quad (8)$$

با استفاده از این رابطه در رابطه ۵ معادله انرژی توamas-فرمی<sup>(۲۱-۲۲)</sup> به صورت زیر می شود :

$$E_{TF}[n] = T_{TF}[n] + \int n(\vec{r})v(\vec{r})dr + J[n] \quad (9)$$

حال به جای  $T_{TF}[n]$  قرار داده و داریم :

$$T_{TF} = \int C_K n^{\frac{5}{3}}(\vec{r})dr \quad C_K = \frac{3}{10} (3\pi^2)^{\frac{2}{3}}$$

مدل توamas-فرمی-دیراک (TFD)

در مدل توamas-فرمی-دیراک<sup>(۳۳)</sup> همان تابع انرژی جنبشی در نظر گرفته شده در مدل توamas-فرمی است ولی در عبارت مربوط به  $V_{ee}[n]$  علاوه بر  $J[n]$ ،  $K[n]$  هم موجود است و برای آن مقدار انرژی تبادلی برای یک گاز الکترونی یکنواخت که با محاسبه دیراک بدست آمده است را قرار می دهند:<sup>(۲۴)</sup>

$$K[n] = C_e \int n^{\frac{4}{3}}(\vec{r}) dr \quad (9)$$

که در رابطه بالا :

$$C_e = \frac{3}{4} \left( \frac{3}{\pi} \right)^{\frac{1}{3}} = 0.7386$$

در نتیجه انرژی توماس-فرمی-دیراک به صورت زیر بددست می آید:

$$E_{TFD}[n] = C_K \int n^{\frac{5}{3}}(\vec{r}) dr + \int n(\vec{r}) v(\vec{r}) dr + J[n] - C_e \int n^{\frac{4}{3}}(\vec{r}) dr \quad (10)$$

مدل توماس-فرمی-دیراک-وایزاکر (TFDW)

تا اینجا اثرات ناهمگنی در چگالی الکترونی در نظر گرفته نشده است. این ناهمگنی چگالی الکترونی در اتم ها و مولکولها نسبتاً بزرگ است ولی در تقریب چگالی موضعی آن را در نظر نمی گیرند. وایزاکر (Weizsäcker) برای اولین باراين موضوع را در نظر گرفت او امواج تخت را به صورت اصلاح شده  $(1 + a.r)e^{iK.r}$  در نظر گرفت که  $a$  بردار ثابت و  $K$  بردار موج کل می باشد.<sup>(۲۵)</sup>

تصحیح وایزاکر برای انرژی جنبشی توماس-فرمی به صورت زیر است :

$$T_w[n] = \frac{\hbar^2}{8m} \int \frac{|\nabla n(\vec{r})|^2}{n(\vec{r})} dr \quad (11)$$

و در نتیجه انرژی کل به صورت زیر می باشد :

$$T_{TF\lambda W}[n] = T_F[n] + \lambda T_w[n] \quad (12)$$

در رابطه بالا وایزاکر پارامتر  $\lambda$  را برابر یک در نظر گرفته است. اما بعدها مشخص شد که نظریه بسط گرادیان پیش بینی می کند که  $\lambda$  باید  $\frac{1}{9}$  باشد. وایزاکر جمله مرتبه دوم را برای بسط گرادیان درنظر گرفته است. بنابراین انرژی توماس-فرمی-دیراک-وایزاکر (TFD -  $\lambda W$ ) یا (TFDW) به صورت زیر درمی آید:

$$E_{TFD-\lambda W}[n] = C_F \int n^{\frac{5}{3}}(\vec{r}) dr + \frac{\lambda}{8} \int \frac{|\nabla n(\vec{r})|^2}{n(\vec{r})} dr + \int n(\vec{r}) v(\vec{r}) dr + J[n] - C_e \int n^{\frac{4}{3}}(\vec{r}) dr \quad (13)$$

البته نظریه بسط گرادیان در رابطه ۱۳ تا مرتبه دوم بکار رفته است.<sup>(۲۶)</sup>

اگر انرژی کل تابعی به صورت زیر باشد

$$E[n(\vec{r})] = T_{TF}[n] + \frac{1}{9} T_w[n] + \int v(\vec{r}) n(\vec{r}) dr + V_{ee}[n] \quad (14)$$

از قید تعداد الکترون ثابت یعنی  $\int n(\vec{r}) d\vec{r} = N$  استفاده می کنیم و معادله انرژی کل تابعی را کمینه می کنیم که منجر به معادله دیفرانسیل زیر می شود :

$$\frac{5}{3} C_K n(\vec{r})^{\frac{2}{3}} + \frac{1}{9} \frac{\delta T_w[n]}{\delta n(\vec{r})} + v(\vec{r}) + \frac{\delta V_{ee}[n]}{\delta n(\vec{r})} = \mu \quad (15)$$

که در آن  $\mu$  ضریب لاگرانژ برای این قید است و با انرژی فرمی برابر است .

برای کمینه کردن انرژی کل تابعی از مشتقات تابعی استفاده می کنیم و در نتیجه معادله ۱۵ به صورت زیر به دست می آید :

$$\frac{5}{3} C_K n(\vec{r})^{\frac{2}{3}} + \frac{\lambda}{8} \left[ \frac{|\nabla n(\vec{r})|^2}{n^2(\vec{r})} - 2 \frac{\nabla^2 n(\vec{r})}{n(\vec{r})} \right] + v(\vec{r}) + \frac{e^2}{2} \int \frac{n(\vec{r}')}{|\vec{r} - \vec{r}'|} d\vec{r}' - \frac{4}{3} C_e n^{\frac{1}{3}}(\vec{r}) = \mu \quad (16)$$

## نتایج و بحث

برای اتم های با لایه بسته (پوسته بسته) معادله ۱۶ به یک معادله یک بعدی کاهش می یابد و در آن معادله  $v(\vec{r}) = -\frac{Z}{r}$  می باشد .

با تبدیلات :

$$y(\vec{r}) = r n^{\frac{1}{2}}(\vec{r}) \quad (17)$$

$$x = r^{\frac{1}{2}}$$

معادله ۱۶ به صورت زیر تبدیل می شود :

$$\frac{\partial^2 y(x)}{\partial x^2} - \frac{1}{x} \frac{\partial y(x)}{\partial x} - \frac{5}{3} \left( \frac{8C_K}{\lambda} \right) x^{\frac{2}{3}} y(x)^{\frac{7}{3}} + \frac{4}{3} \left( \frac{8C_e}{\lambda} \right) x^{\frac{2}{3}} y(x)^{\frac{5}{3}} + \frac{8}{\lambda} [U(x) + \mu x^2] y(x) = 0 \quad (18)$$

که در رابطه بالا :

$$U = rv$$

$$y(x) = Z - N + 8\pi \left[ \int_x^\infty x' y(x')^2 dx' - x^2 \int_x^\infty y(x')^2 \frac{1}{x'} dx' \right] \quad (19)$$

هم در مبدأ و هم در بی نهایت هر دو به سمت صفر می رود در یک شبکه متناهی (محدود)  $x$  و  $y(x)$  به  $x_i$  و  $y_i$  تبدیل می شوند که :

$$i = 0, 1, \dots, M$$

و شرایط مرزی را نیز در نظر می گیریم :

$$y_0 = 0, y_M = 0 \quad (20)$$

مشتقات  $y(x)$  در معادله ۱۸ می تواند بر حسب تفاضل های متناهی بیان شود .

$$\frac{\partial y(x_n)}{\partial x} = \frac{(y_{n+1} - y_{n-1})}{2\Delta} \quad (21)$$

$$\frac{\partial^2 y(x_n)}{\partial x^2} = \frac{(y_{n+1} + y_{n-1} - 2y_n)}{\Delta^2} \quad (22)$$

که  $\Delta$  اندازه شبکه می باشد .

جایگزین کردن معادلات ۲۱ و ۲۲ در معادله ۱۸ منجر به یک دستگاه معادلات جبری غیر خطی برای  $\{y_i\}$  می شود . که به روش تکرار می توان به صورت زیراين معادله را به صورت عددی حل و جواب را به دست آورد .

۱) یک حدس اولیه برای  $\mu^0$  و  $\{U_i^0\}$  زده می شود و پس از آن  $(x^0, U^0)$  از معادله ۱۹ در شبکه مجزا به عنوان  $\{y_i^0\}$  محاسبه می شود .

۲) با  $\mu^0$  و  $\{U_i^0\}$  دستگاه معادلات برای  $\{y_i^1\}$  توسط روش چند بعدی نیوتون می تواند حل شود که خودش تکرار را در بردارد .

۳) سپس شرط بهنجارش بررسی می شود :

$$\text{or} \quad 8\pi \int y^2(x) dx = N \\ \int n(r) dr = N \quad (23)$$

اگر این شرط توسط  $\{y_i^1\}$  برآورده نشود مرحله (2) با یک حدس دیگر برای  $\mu^0$  و ثابت نگهداشت  $\{U_i^0\}$  تکرار می شود .

$\{y_i^1\}$  بهنجار شده و  $\mu^1$  وابسته می توانند به سهولت توسط روش نصف سازی (Bisection) پیدا شوند .

۴) با اطمینان از همگرایی،  $\{y_i^0\}$  جدید با  $\{y_i^1\}$  اولیه ترکیب می شود . (حدود ۳۰٪ ترکیبات جدید) سپس  $\mu^1$  و  $\{y_i^1\}$  ترکیب شده به عنوان ورودی به مرحله ۱ بر می گردد تا زمانیکه خودسازگاری حاصل شود .

توجه کنید که شرط مرزی معادله (۲۰) در تمام مراحل نگهداشته می شود .

در تمام محاسبات شرح داده شده ، به جای  $M$  و  $\Delta$  به ترتیب ۱۰۰۰ و ۰.۰۱ قرار می دهیم و شرط همگرایی نیز به صورت زیر می باشد:

$$\frac{|\Delta y_i|}{y_i} \leq 10^{-4}$$

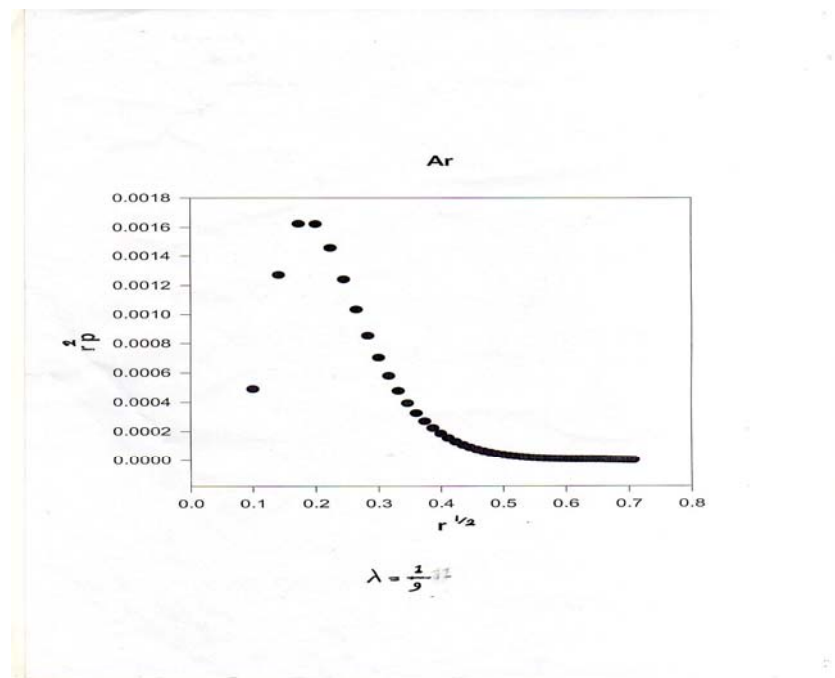
در نهایت معادله ۱۸ را به روش عددی و با استفاده از نرم افزار *(FPS) Fortran Power Station* حل می نماییم . به این ترتیب که از زیر برنامه *Newt.for* که همان روش نیوتن برای حل دستگاه معادلات غیر خطی (چند متغیره) می باشد ، استفاده می کنیم ، و معادله دیفرانسیل فوق را برای اتم های *Ar* به ازای مقادیر مختلف  $\lambda$  به روش عددی حل می کنیم . سپس نمودار این اتم ها را رسم می کنیم و محور افقی را  $r^{\frac{1}{2}}$  و محور عمودی را  $r^2 n$  در نظر می گیریم .

### نتیجه گیری

#### تفسیر فیزیکی نمودارها

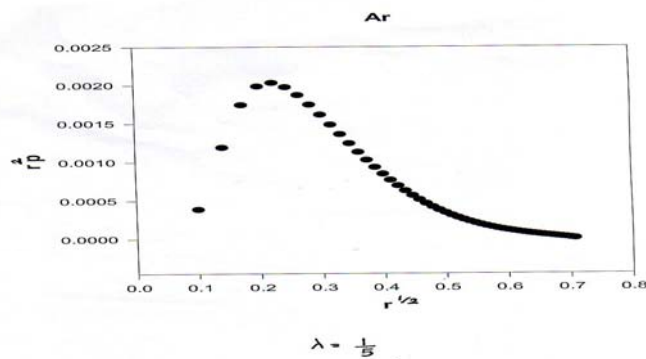
همچنانکه در شکلهای ۱ و ۲ ملاحظه می شود چگالی الکترونی در فاصله های نزدیک و دور از هسته صفر می باشد ، اما در یک فواصل معینی مقدار چگالی نسبتاً قابل ملاحظه است که این موضوع دقیقاً نشان دهنده وجود مدارهای مشخص الکترونی در فواصل معینی از هسته می باشند

در شکلهای ۳ - ۱ کمیت  $r^2 n(r)$  بر حسب  $r^{\frac{1}{2}}$  برای اتم آرگون در  $\lambda$  های مختلف رسم شده است .



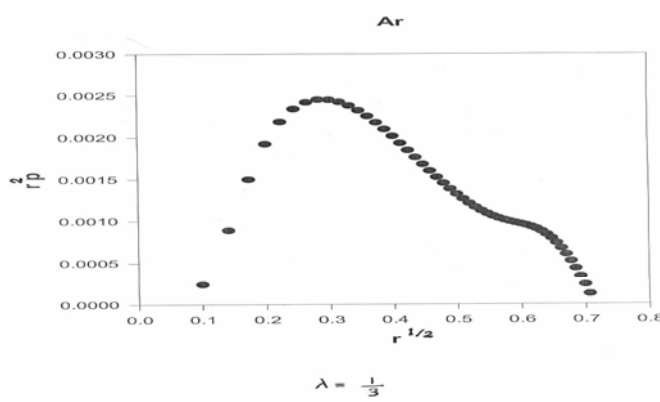
شکل ۱: نمایش حاصلضرب توان دوم فاصله از مبدا در چگالی الکترونی بر حسب جذر فاصله برای

$$\text{اتم آرگون در } \lambda = \frac{1}{9}$$



شکل ۲: نمایش حاصلضرب توان دوم فاصله از مبدا در چگالی الکترونی بر حسب جذر فاصله برای اتم آرگون در

$$\lambda = \frac{1}{5}$$



شکل ۳: نمایش حاصلضرب توان دوم فاصله از مبدا در چگالی الکترونی بر حسب جذر فاصله برای اتم آرگون در

$$\lambda = \frac{1}{3}$$

در این تحقیق روش توماس-فرمی را به کمک نظریه تابعی چگالی تعمیم دادیم. و به محاسبه چگالی الکترونی برای اتم های  $Ne$  و  $Ar$  و  $Xe$  و  $Kr$  با تصحیح وایزاکر برای  $\lambda$  های مختلف پرداختیم.

همچنین برای یک اتم خاص و با توجه به اینکه چه ناحیه‌ای از اتم را می‌خواهیم بررسی کنیم باید  $\lambda$  های متفاوتی بکار برد. و در نهایت معادله کلی را بیان می‌کنیم که شامل تمام حالات خاص بیان شده می‌باشد و این معادله دیفرانسیلی بر حسب چگالی  $n(r)$  می‌باشد که ما این معادله را به روش عددی حل می‌نماییم و برای اتم  $Ar$  در نمودارهایی چگالی  $n$  را بر حسب  $r$  رسم می‌نماییم. چگالی محاسبه شده چگالی حالت زمینه است.

اگر به نمودارها توجه کنیم مشاهده می نماییم که در فاصله تقریباً یک واحد فاصله کاهش یافته از مرکز هسته یک بیشینه در چگالی مشاهده می شود که مربوط به این است که احتمال پیدا کردن الکترون در آن فاصله ها بیشتر است و در فواصل دورتر چگالی به سمت صفر کاهش می یابد . اما در فواصل نزدیک با توجه به اینکه معادلات بکاررفته به صورت تقریبی می باشند ممکن است جواب به دست آمده با واقعیت موجود کمی متفاوت باشد که لازم است در آینده این موضوع بیشتر بررسی شود .

### References:

1. Parr, G., and Yang, W., *Density-Functional Theory of Atoms & Molecules* (Oxford University Press, Newyork (1989).
2. Mermin, N. D., *Phys. Rev. A*, **137**, 1441 (1965).
3. Langreth, D. C., and Mhl M. J., *Phys. Rev. Lett.*, **47**, 446 (1981).
4. Gell-Mann, M., *Phys. Rev.*, **106**, 364 (1957).
5. Mermin, N. D., *Phys. Rev. A*, **137**, 1441 (1964).
6. Kohn, W., and Sham, L. J., *Phys. Rev. A*, **140**, 1133 (1965).
7. Becke, A. D., *Phys. Rev. A*, **38**, 3098 (1988).
8. Perdew, J. P., and Yue, W., *Phys. Rev. B*, **33**, 8800 (1986).
9. Gunnarsson, O., Jonson, M., and Lundqvist, B. I., *Phys. Rev. B*, **20**, 3136 (1979).
10. Gunnarsson, O., and Lundqvist, B. I., *Phys. Rev. B*, **13**, 4274 (1976).
11. Kohn, W., and Scham, L.J., *Phys. Rev. A*, **140**, 1133 (1965).
12. Kohn, W., and Scham, L.J., *Phys. Rev. A*, **137**, 1697 (1964).
13. Kohn, W., and Scham, L.J., *Phys. Rev. A*, **137**, 1697 (1965).
14. Alonso, J.A., and Girifalco, A.L., *Phys. Rev. B*, **17**, 3735 (1978).
15. Huntington, H.B., *Phys. Rev.*, **20** B, 3165 (1979).
16. Sham, L.J., and Schlauter, M., *Phys. Rev. B*, **32**, 3883 (1985).
17. Hutt, E., Anderson, Y., and Lundqvist, B.I., *Phys. Rev. Lett.*, **77**, 2024 (1996).
18. Anderson, Y., Langreth, D.C., and Lundqvist, B. T., *Phys. Rev. Lett.*, **76**, 102 (1996).
19. Hohenberg, P., and Kohn, W., *Phys. Rev. B*, **136**, 864 (1964).
20. Kohn, W., Meir, Y., and Makarov, D.E., *Atomic and Molecular & Optical Phys.*, 30002 (1997).
21. Fermi, E., *Z. Physik*, **48**, 73 (1928).
22. Thomas, L.H., *Proc. Cambridge Phil. Soc.*, **23**, 542 (1927).
23. Latter, R., *Phys. Rev.*, **99**, 510 .(1955)
24. Ashby, N., and Helzman, M. A., *Phys. Rev. A*, **1**, 764(1970).
25. Ashcroft, N.W., and Mermin, N. D., *Solid State Physics*, Philadelphia Saunders College (1976).
26. Hodges, H., *Can. J. Phys.*, **51**, 1428 (1973).